

## Краткие сообщения

01;05

### Численное моделирование динамики вихрей в двухзонной модели Гинзбурга—Ландау

© И.Н. Аскерзаде<sup>1,2</sup>

<sup>1</sup> Department of Computer Engineering, Engineering Faculty of Ankara University, Aziz Kansu Building Tandogan Kampus, 06100, Tandogan, Ankara, Turkey

<sup>2</sup> Институт физики НАН Азербайджана, Баку AZ1143, Азербайджан  
e-mail: iasker@science.ankara.edu.tr,  
solstphs@physics.ab.az

(Поступило в Редакцию 11 января 2011 г.)

По методу численного моделирования двухзонных нестационарных уравнений Гинзбурга—Ландау проанализирована динамика абрикосовских вихрей в промежуточном состоянии двухзонного сверхпроводника.

Открытие сверхпроводимости в дибориде магния MgB<sub>2</sub> [1] привлекло значительное внимание исследователей. Результаты вычислений зонной структуры носителей тока и фононного спектра предсказывают наличие двух энергетических щелей [2,3]. Большая по величине щель относится к двумерным p<sub>x-y</sub>-орбиталам, а меньшая — к трехмерным p<sub>z</sub>-орбиталам [4]. Двухзонный характер сверхпроводящего состояния в MgB<sub>2</sub> подтверждается туннельными экспериментами [5,6] и измерениями теплоемкости [7]. В последние годы обобщенная электрон-фононная теория Элиашберга для двухзонных сверхпроводников была применена для исследования свойств немагнитных борокарбидов Y(Lu)Ni<sub>2</sub>B<sub>2</sub>C [8] и диборида магния MgB<sub>2</sub> [9]. В настоящей работе изучается динамика вихрей в двухзонной нестационарной теории Гинзбурга—Ландау применительно к сверхпроводнику MgB<sub>2</sub>, принимая во внимание многолистный характер поверхности Ферми этого соединения [4]. Надо отметить, что динамика вихрей на основе нестационарной однозонной теории Гинзбурга—Ландау была проанализирована в работе [10]. Также следует отметить недавние исследования в данной области [11,12].

Уравнения стационарной теории Гинзбурга—Ландау использовались также для изучения физических свойств диборида магния MgB<sub>2</sub> в работах [13,14] и немагнитных борокарбидов Y(Lu)Ni<sub>2</sub>B<sub>2</sub>C [15,16]. Совсем недавно нестационарные уравнения были применены для численного моделирования зарождения одиночного вихря в двухзонных сверхпроводниках [17]. Согласно этой модели, функционал свободной энергии Гинзбурга—Ландау для изотропного двухзонного сверхпроводника можно

записать как

$$F_{SC} = \int dV \left\{ \frac{\hbar^2}{4m_1} \left| \left( \nabla - \frac{2\pi i \mathbf{A}}{\Phi_0} \right) \Psi_1 \right|^2 + \alpha_1(T) \Psi_1^2 + \frac{\beta_1 \Psi_1^2}{2} + \frac{\hbar^2}{4m_2} \right. \\ \times \left. \left| \left( \nabla - \frac{2\pi i \mathbf{A}}{\Phi_0} \right) \Psi_2 \right|^2 + \alpha_2(T) \Psi_2^2 + \frac{\beta_2 \Psi_2^2}{2} + \varepsilon (\Psi_1^* \Psi_2 + c. c.) \right. \\ \left. + \varepsilon_1 \left\{ \left( \nabla + \frac{2\pi i \mathbf{A}}{\Phi_0} \right) \Psi_1^* \left( \nabla - \frac{2\pi i \mathbf{A}}{\Phi_0} \right) \Psi_2 + c. c. \right\} + \frac{H^2}{8\pi} \right\}, \quad (1)$$

где  $m_i$  обозначает массы электронов, принадлежащих к разным зонам ( $i = 1, 2$ ),  $\Psi_i$  — параметры порядка в разных зонах. Коэффициенты  $\alpha_i$  линейно зависят от температуры  $\alpha_i = \gamma_i(T - T_{c,i})$ , в то время как  $\beta_i$  полагаются константами. Величины  $\varepsilon$  и  $\varepsilon_1$  описывают межзонное взаимодействие между параметрами порядка и их градиентами соответственно.  $H$  — внешнее магнитное поле,  $\Phi_0$  — квант магнитного потока. В уравнении (1) параметры порядка полагаются медленно меняющимися в пространстве.

Нестационарные уравнения в двухзонной теории Гинзбурга—Ландау выводятся из функционала (1) аналогично работам [17,18]

$$\eta_1 \left( \frac{\partial}{\partial t} + i\kappa\varphi \right) \Psi_1 = -\frac{\delta F}{\delta \Psi_1^*}, \quad (2a)$$

$$\eta_2 \left( \frac{\partial}{\partial t} + i\kappa\varphi \right) \Psi_2 = -\frac{\delta F}{\delta \Psi_2^*}, \quad (2b)$$

$$\sigma_n \left( \frac{\partial \mathbf{A}}{\partial t} + \nabla\varphi \right) = -\frac{1}{2} \frac{\delta F}{\delta \mathbf{A}}. \quad (2c)$$

Здесь использованы обозначения, принятые в работах [17,18]. В уравнениях (2)  $\varphi$  обозначает скалярный

электрический потенциал,  $\eta_{1,2}$  — релаксационные параметры волновых функций  $\Psi_{1,2}$ ,  $\kappa = \lambda/\xi$  — параметр Гинзбурга–Ландау,  $\sigma_n$  — проводимость. Выбором соответствующей калибровки электростатический потенциал можно исключить из системы уравнений (2) [18]. При такой калибровке и выборе конфигурации магнитного поля в виде  $\mathbf{H} = (0, 0, H)$  (без ограничения общности) нестационарные уравнения в двухзонной теории Гинзбурга–Ландау принимают следующий вид:

$$\eta_1 \frac{\partial \Psi_1}{\partial t} = -\frac{\hbar^2}{4m_1} \left( \frac{d^2}{dx^2} - \frac{x^2}{l_s^2} \right) \Psi_1 + \alpha_1(T) \Psi_1 + \varepsilon \Psi_2 + \varepsilon_1 \left( \frac{d^2}{dx^2} - \frac{x^2}{l_s^2} \right) \Psi_2 + \beta_1 \Psi_1^3 = 0, \quad (3a)$$

$$\eta_2 \frac{\partial \Psi_2}{\partial t} = -\frac{\hbar^2}{4m_2} \left( \frac{d^2}{dx^2} - \frac{x^2}{l_s^2} \right) \Psi_2 + \alpha_2(T) \Psi_2 + \varepsilon \Psi_1 + \varepsilon_1 \left( \frac{d^2}{dx^2} - \frac{x^2}{l_s^2} \right) \Psi_1 + \beta_2 \Psi_2^3 = 0, \quad (3b)$$

$$\sigma_n \frac{\partial \mathbf{A}}{\partial t} = -\text{rot } \mathbf{A} + \frac{2\pi}{\Phi_0} \left\{ \frac{\hbar^2}{4m_1} n_1(T) \left( \frac{d\phi_1}{dr} - \frac{2\pi A}{\Phi_0} \right) + \varepsilon_1 (n_1(T)n_2(T))^{0.5} \cos(\phi_1 - \phi_2) + \frac{\hbar^2}{4m_2} n_2(T) \left( \frac{d\phi_2}{dr} - \frac{2\pi A}{\Phi_0} \right) \right\}, \quad (3c)$$

где  $l_s^2 = \hbar c / 2eH$  — так называемая магнитная длина,  $\phi_{1,2}(\mathbf{r})$  — фаза параметра порядка  $\Psi_{1,2}(\mathbf{r}) = |\Psi_{1,2}| \exp(i\phi_{1,2})$ ,  $n_{1,2}(T) = 2|\Psi_{1,2}|^2$  — концентрация сверхпроводящих электронов в равновесном состоянии [13,14]. К этим уравнениям надо добавить еще естественные граничные условия для параметров порядка

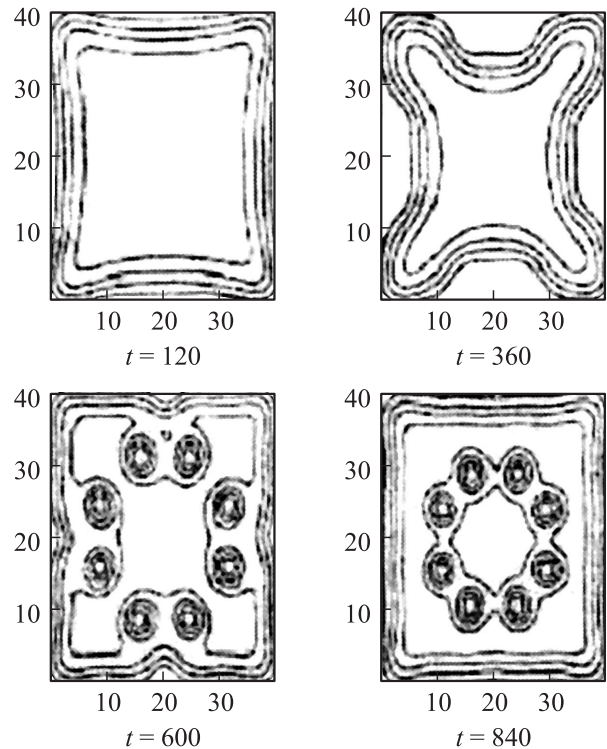
$$\mathbf{n} \left( \nabla - \frac{2\pi i \mathbf{A}}{\Phi_0} \right) \Psi_1 = a_{11} \Psi_1 + a_{12} \Psi_2, \quad (4a)$$

$$\mathbf{n} \left( \nabla - \frac{2\pi i \mathbf{A}}{\Phi_0} \right) \Psi_2 = a_{21} \Psi_1 + a_{22} \Psi_2, \quad (4b)$$

$$(\mathbf{n} \times \mathbf{A}) \times \mathbf{n} = \mathbf{H}_0 \times \mathbf{n}, \quad (4c)$$

где  $a_{ij}$  ( $i, j = 1, 2$ ) являются константами. Первые два условия соответствуют отсутствию сверхтока через границу двухзонного сверхпроводника, а третье соответствует непрерывности нормальной компоненты магнитного поля на границе сверхпроводника с вакуумом.

Рассмотрим динамику вихрей в однородной двухзонной сверхпроводящей пленке постоянной толщины, помещенной в постоянное перпендикулярное магнитное поле. При такой конфигурации модель становится двумерной и аналогично [19] для обеспечения масштабной инвариантности решений [20] удобно ввести связанные



Проникновение абрикосовских вихрей в сверхпроводящую прямоугольную пленку в перпендикулярном магнитном поле.

переменные типа

$$W(x, y) = \exp\left(ik \int^x A(\xi, y) d\xi\right), \quad (5a)$$

$$V(x, y) = \exp\left(ik \int^y B(x, \eta) d\eta\right). \quad (5b)$$

Для получения пространственно-дискретной системы уравнений (3) используем улучшенный метод Эйлера [21]. При проведении численных экспериментов размеры сверхпроводящей пленки полагались равными  $40\lambda \times 40\lambda$ , где  $\lambda$  — длина проникновения магнитного поля для двухзонного сверхпроводника и определяется формулой из работ [13,14]:

$$\lambda^{-2}(T) = \frac{4\pi e^2}{c^2} \left\{ \frac{n_1(T)}{m_1} + 2\varepsilon_1 [n_1(T)n_2(T)]^{0.5} + \frac{n_2(T)}{m_2} \right\}. \quad (6)$$

При моделировании также вводятся следующие безразмерные параметры:

$$\mathbf{r}' = \frac{\mathbf{r}}{\lambda}, \quad \Psi'_{1,2} = \frac{\Psi_{1,2}}{\Psi_{(1,2)0}}, \quad \mathbf{A} = \frac{\mathbf{A}}{\lambda H_c \sqrt{2}},$$

$$F'(\Psi'_{1,2}, A') = \frac{F(\Psi_{1,2}, A)}{\alpha_0^2 |\Psi_{1,0}|^2 + \alpha_1^2 |\Psi_{2,0}|^2}. \quad (7)$$

Выражения для  $\Psi_{(1,2)0}$ , а также для термодинамического магнитного поля  $H_c$  представлены в работах [13,14].

При исследовании динамики вихрей на основе двухзонной теории Гинзбурга–Ландау использовались следующие значения для расчетных параметров для типичного двухзонного сверхпроводника [13,14]:

$$T_c = 40 \text{ К}, \quad T_{c1} = 20 \text{ К}, \quad T_{c2} = 10 \text{ К},$$

$$\frac{\varepsilon_2}{\gamma_1 \gamma_2 T_c^2} = 0.33, \quad \eta = \frac{T_c m_2 \varepsilon_1 \gamma_2}{\hbar^2 \varepsilon} = -0.016.$$

Параметр, связанный с соотношением эффективных масс носителей тока в разных зонах, выбран в виде  $\gamma_1 m_1 / \gamma_2 m_2 = 3$  [13,14]. Результаты численных расчетов представлены на рисунке в виде временной эволюции вихрей в пленке двухзонного сверхпроводника, где представлены контуры для плотности сверхпроводящих электронов при магнитных полях немного выше нижнего критического поля  $H_{c1}$ . Как видно, со временем внешнее магнитное поле проникает в сверхпроводящую пленку в виде вихрей. Из численных расчетов следует, что внешнее магнитное поле проникает в сверхпроводящую пленку с боковых сторон симметричным образом. Расчеты показали, что конечный вид равновесного состояния зависит от величины внешнего магнитного поля  $H$  и параметра Гинзбурга–Ландау  $\kappa$ . Расчеты также подтвердили существование мейсснеровского состояния, т.е. при фиксированном значении  $\kappa$  и малых магнитных полях  $H < H_{c1}$  зарождения вихрей не наблюдается. При больших магнитных полях выше верхнего критического поля  $H > H_{c2}$  образец переходит в нормальное состояние. Структура вихревого состояния в пленке с размером  $40\lambda \times 40\lambda$  вблизи верхнего критического поля  $H \leq H_{c2}$  имеет частично гексагональный характер, что соответствует минимуму свободной энергии (1). Это означает, что имеется отличие от точной гексагональной вихревой структуры в идеальном приближении, имеющее место в бесконечных сверхпроводниках [20]. Конечность размеров приводит к изменению структуры вихревой решетки. Представляет интерес проведение разных численных экспериментов для образцов с различными геометрическими структурами, а также изучение динамики вихрей в градиентном внешнем магнитном поле. Также интересно проведение численных расчетов при наличии в сверхпроводящем образце „пиннинг“-центров [20].

Таким образом, в настоящей работе проведено численное моделирование двухзонных нестационарных уравнений Гинзбурга–Ландау и проанализирована динамика абрикосовских вихрей в промежуточном состоянии двухзонного сверхпроводника. Обнаружен частично гексагональный характер вихревой структуры в сверхпроводнике прямоугольной формы при больших магнитных полях.

Настоящая работа частично поддержана исследовательским грантом CNRS-ANAS (UNR 5798-2009).

## Список литературы

- [1] Nagamatsu O., Nakagava N., Muranaka T., Zenitani Y., Akimitsu J. // Nature. 2001. Vol. 410. P. 63.
- [2] Kortus J. et al. // Phys. Rev. Lett. 2001. Vol. 86. P. 46 565.
- [3] Liu A.Y., Mazin I.I., Kortus J. // Phys. Rev. Lett. 2001. Vol. 87. P. 087 005.
- [4] Buzea C., Yamashita T. // Supercond. Sci. Technol. 2002. Vol. 14. P. R115.
- [5] Chen X.K. et al. // Phys. Rev. Lett. 2001. Vol. 87. P. 157 002.
- [6] Giublie F. et al. // Phys. Rev. Lett. 2001. Vol. 87. P. 177 008.
- [7] Bouquet F. et al. // Phys. Rev. Lett. 2001. Vol. 87. P. 047 001.
- [8] Shulga S.V., Drechsler S.-L., Muller K.H., Fuchs G., Winzer K., Heinecke M., Krug K. // Phys. Rev. Lett. 1998. Vol. 80. P. 1730.
- [9] Choi H.J. et al. // Phys. Rev. B. 2006. Vol. 73. P. 104 520.
- [10] Winiiecki T., Adams C.S. // Phys. Rev. B. 2002. Vol. 65. P. 104 517.
- [11] Rosenstein B., Li D. // Rev. Mod. Phys. 2010. Vol. 82. P. 108.
- [12] Zhitomirsky M.E., Dao V.-H. // Phys. Rev. B. 2004. Vol. 69. P. 054 508.
- [13] Askerzade I.N., Gencer A. // Supercond. Sci. Technol. 2002. Vol. 15. L13.
- [14] Askerzade I.N. // Physica C. 2003. Vol. 390. P. 28.
- [15] Аскерзаде И.Н. // УФН. 2006. Т. 176. С. 1025.
- [16] Аскерзаде И.Н. // Письма ЖЭТФ. 2005. Т. 81. С. 583.
- [17] Аскерзаде И.Н. // ЖТФ. 2010. Т. 80. Вып. 6. С. 144.
- [18] Schmid A. // Phys. Condens. Matter. 1966. Vol. 5. P. 302.
- [19] Kwong M.K., Kaper H.G. // J. Comput. Phys. 1995. Vol. 119. P. 120.
- [20] Абрикосов А.А. Основы теории металлов. М.: Наука, 1987.
- [21] Thompson J.F., Warsi Z.U.A., Martin C.W. Numerical Grid Generation. Elsevier, NY: 1985.